

توسعه تحلیل پوش اور مدال بهینه شده به منظور برآورد پاسخ لرزه‌ای قاب‌های خمشی فولادی در محدوده فروریزش

محمد مهدی مداح

دانشجوی دکتری، پژوهشگاه بین‌المللی زلزله‌شناسی و مهندسی زلزله، تهران، ایران
mm.maddah@iiees.ac.ir

ساسان عشقی

دانشیار، پژوهشگاه بین‌المللی زلزله‌شناسی و مهندسی زلزله، تهران، ایران
s.eshghi@iiees.ac.ir

علیرضا گرکانی نژاد

دانش‌آموخته دکتری مهندسی زلزله، پژوهشگاه بین‌المللی زلزله‌شناسی و مهندسی زلزله، تهران، ایران
a.garakani@iiees.ac.ir

واژگان کلیدی: تحلیل پوش اور مدال، روش‌های بهینه‌سازی، ترکیب پاسخ‌های مدال، آستانه فروریزش، قاب خمشی فولادی میان‌مرتبه

چکیده

در این پژوهش، یک روش پوش اور مدال به منظور برآورد پارامترهای تقاضای مهندسی مبتنی بر جابجایی توسعه داده می‌شود. در این روش ابتدا بر اساس منحنی ظرفیت طبقات یک معیار برای تعیین سطح آستانه فروریزش در تحلیل‌های پوش اور پیشنهاد می‌گردد. سپس یک روش ترکیب نتایج به منظور تعیین پارامترهای پاسخ سازه در این سطح عملکرد ارائه می‌شود. در روش پوش اور پیشنهادی، پاسخ‌های حاصل از تحلیل پوش اور مدال در آستانه فروریزش با ضرایب حاصل از بهینه‌سازی به صورت جبری ترکیب می‌گردند. این ضرایب بر اساس نتایج تحلیل دینامیکی افزایشی (IDA) سه قاب خمشی فولادی ۵، ۸ و ۱۱ طبقه و به کارگیری دو روش بهینه‌سازی برخورد اجسام (CBO) و ازدحام ذرات (PSO) به دست می‌آیند. یک قاب ۹ طبقه به منظور ارزیابی روش پیشنهادی مورد استفاده قرار گرفته است. نتایج نشان می‌دهد روش پوش اور پیشنهادی پروفیل دریفت و جابجایی طبقات در آستانه فروریزش سازه را با دقت بسیار خوبی تخمین می‌زند.

مقدمه

بیشترین خسارات در زمین‌لرزه‌ها بر اثر ایجاد آسیب‌های شدید سازه‌ای، از دست رفتن پایداری سازه‌ها و فروریزش ساختمان‌های موجود به وجود می‌آید. فروریزش، علاوه بر اینکه بیشترین تلفات جانی و خسارات مالی را در زمین‌لرزه‌ها به وجود می‌آورد، با ایجاد اختلال در روند امداد رسانی سبب افزایش میزان مرگ و میر پس از وقوع زلزله خواهد شد که این امر در کلان‌شهرها با توجه به تراکم بالای جمعیت از نمود بیشتری برخوردار خواهد بود. به همین دلیل مهم‌ترین دغدغه مراکز تصمیم‌گیری و مدیریتی در موضوع پیامدهای زلزله، تلفات جانی و خسارات مالی ناشی از فروریزش ساختمان‌های موجود و تبعات اجتماعی و اقتصادی آن برای شهر و کشور است. از طرفی با توجه به مزایای اجرای اسکلت فولادی در ساختمان‌ها استفاده از این نوع سازه در ایران رواج زیادی پیدا کرده است و بخش مهمی از ساختمان‌های موجود در شهرهای ایران ساختمان‌های میان‌مرتبه با اسکلت فولادی‌اند. این ساختمان‌ها در زمین‌لرزه‌های گذشته ایران دچار آسیب‌های سازه‌ای جدی و فروریزش شده‌اند. در زلزله بم به بزرگای ۶/۷ ریشتر در سال ۱۳۸۲ تعدادی از ساختمان‌های فولادی میان‌مرتبه موجود دچار فروریزش و آسیب‌های شدید شدند (شکل ۱-الف). در زلزله اخیر سرپل ذهاب نیز تعدادی زیادی از این گروه از ساختمان‌ها دچار آسیب سازه‌ای و فروریزش گردیدند (شکل ۱-ب). در نتیجه بررسی پتانسیل فروریزش این گروه از سازه‌ها در زلزله‌های محتمل با استفاده از روش‌های سریع و با دقت مناسب، از اهمیت بالایی برخوردار است. در این فرایند برآورد دقیق مقادیر تقاضای مهندسی (EDP) بسیار حائز اهمیت است.





(ب)



(الف)

شکل ۱: فروریزش ساختمان‌های فولادی در زلزله‌های گذشته ایران، (الف) زلزله ۱۳۸۲ بم، (ب) زلزله سرپل ذهاب ۱۳۹۶

نسبت دریافت طبقات نسبت مستقیمی با میزان خرابی‌ها در سازه دارد. پروفیل دریافت طبقات در زمان فروریزش، طبقاتی که تمرکز خرابی در آنها رخ می‌دهد را ارائه نموده و مکانیسم کلی فروریزش را نشان می‌دهد. در این مطالعه، هدف اصلی برآورد پروفیل دریافت طبقات در آستانه فروریزش می‌باشد. دقیق‌ترین و جامع‌ترین روش برآورد مقادیر EDP سازه، استفاده از روش‌های دینامیکی غیرخطی تحت گروه شتاب‌نگاشت‌های زلزله است. این روش‌ها با وجود دقت بالا، زمان‌بر بوده و مستلزم هزینه بالای محاسباتی هستند. استفاده از روش‌های استاتیکی غیرخطی (پوش‌اور) به‌عنوان روش‌های جایگزین، رواج بالایی پیدا کرده است (ASCE 41, 2017). یکی از روش‌های نوین چندبار تکرار که از یک طرف اثرات مدهای بالاتر را در نظر گرفته و دقت مناسبی در برآورد پاسخ انواع سازه‌ها دارد و از طرفی کاربرد آن از پیچیدگی زیادی برخوردار نیست، روش پوش‌اور مودال^۱ (MPA) است (Chopra & Goel, 2001). در این روش که توسط چوپرا و گل توسعه یافته است، بارگذاری به‌صورت ثابت و بر مبنای شکل مود اول تا سوم سازه تا جابجایی هدف متناظر هر مود صورت می‌گیرد. پاسخ نهایی سازه از ترکیب^۲ SRSS و یا^۳ CQC نتایج پوش‌اور مودی تعیین می‌شود. تحقیقات نشان می‌دهد دقت این روش با افزایش شکل‌پذیری تقاضا، کاهش می‌یابد زیرا روش ترکیب مودال مورد استفاده در آن در محدوده غیرخطی نادرست بوده و از دقت کافی برخوردار نیست (Amirani & Poursha, 2018; Antoniou & Pinho, 2004). در این تحقیق، یک روش جایگزین برای ترکیب پاسخ‌های پوش‌اور مودال در سطح عملکرد آستانه فروریزش که سازه کاملاً وارد محدوده غیرخطی شده و دقت روش MPA کاهش می‌یابد، پیشنهاد می‌گردد. در این روش پاسخ‌های حاصل از تحلیل پوش‌اور مودال، با استفاده از ضرایب ثابت پیشنهادی به‌صورت جبری با یکدیگر جمع می‌شود. این ضرایب، با استفاده از دو روش متداول بهینه‌سازی به گونه تعیین شدند که میزان خطا در مقایسه با نتایج تحلیل دینامیکی غیرخطی حاصل از ۴۴ رکورد دور از گسل FEMA P695 حداقل گردد (FEMA, 2009). روش‌های بهینه‌سازی الگوریتم ازدحام ذرات و بهینه‌سازی برخورد اجسام روش‌هایی هستند که در این مطالعه مورد استفاده قرار گرفته‌اند. سه قاب خمشی ۵، ۸ و ۱۱ طبقه طراحی شده با روش LRFD و استاندارد ۲۸۰۰ به‌عنوان ساختمان‌های مرجع در نظر گرفته شده‌اند و ضرایب بر اساس نتایج این ساختمان‌ها به دست آمده است. روش پیشنهادی بر روی ساختمان ۹ طبقه SAC به‌عنوان ساختمان نمونه آزمایش شده و نتایج آن ارائه شده‌اند.

با توجه به اینکه هدف اصلی این پژوهش تخمین پروفیل دریافت طبقات در آستانه فروریزش سازه است، لازم است جابجایی هدف متناظر این سطح عملکرد تعیین گردد. در این پژوهش یک جابجایی هدف برای سطح آستانه فروریزش تعریف می‌شود که به رکورد یا طیف زلزله وابسته نبوده و تنها به سازه و الگوی بارگذاری وابسته است. در این روش، ترکیبی از دریافت طبقات و برش طبقات در قالب منحنی ظرفیت طبقه برای تعریف معیار آستانه فروریزش مورد استفاده قرار می‌گیرد.

ساختمان‌های مورد مطالعه

در این پژوهش، سه قاب دو بعدی ۵، ۸ و ۱۱ طبقه طبق استاندارد ۲۸۰۰ (BHRC, 2014) بارگذاری لرزه‌ای و با روش حالات حدی مبحث دهم مقررات ملی

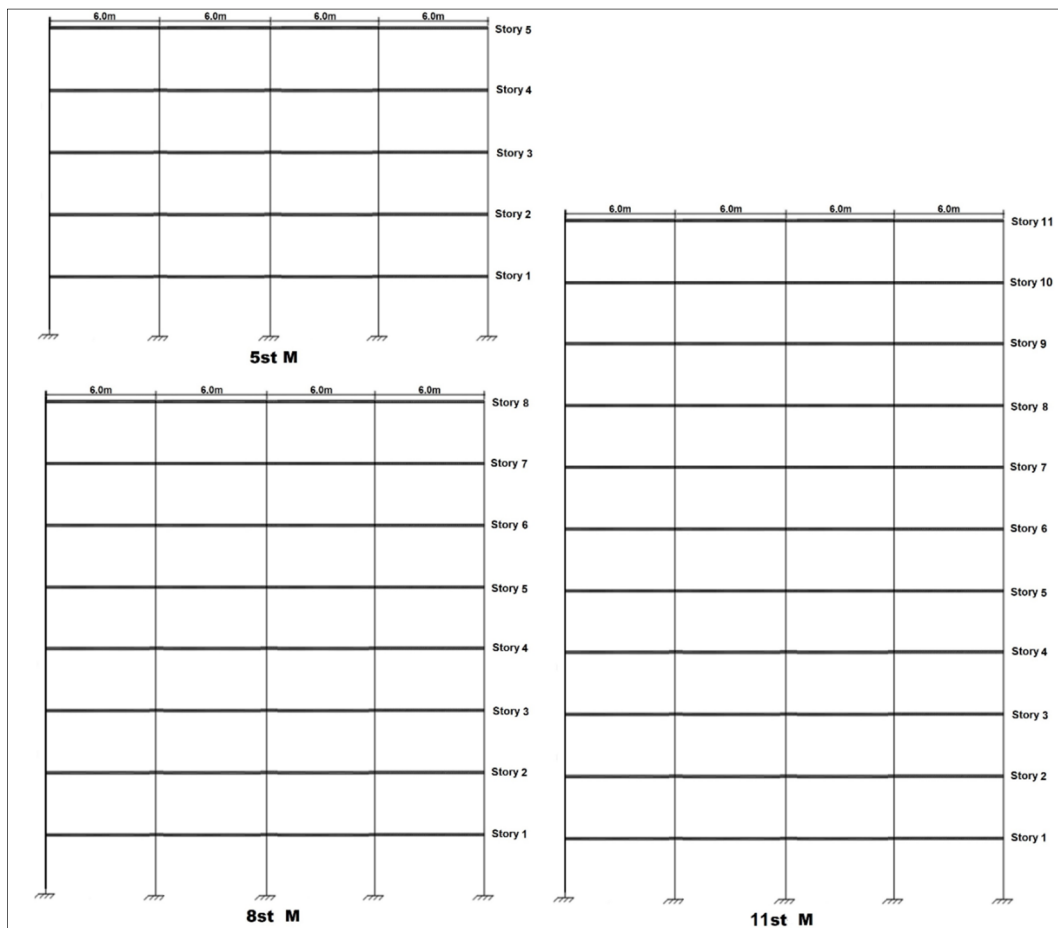
¹ Modal Pushover Analysis

² Square Root of the Sum of the Squares

³ Complete Quadratic Combination



ساختمان طراحی و مورد مطالعه قرار گرفته است. این ساختمان‌ها در ساختمانهای با خاک نوع ۲ (خاک سخت) با خطر نسبی خیلی زیاد و دور از گسل واقع شده‌اند. نمای این قاب‌ها در شکل ۱ نشان داده شده‌اند. مشخصات مقاطع اجزای این قاب‌ها نیز در جدول و جدول ارائه گردیده است. در این ساختمان‌ها ارتفاع کلیه طبقات برابر ۳/۱ متر و عرض دهانه‌ها ۶ متر است. در این ساختمان‌ها مدول الاستیسیته فولاد برابر ۲۰۰GPa، تنش تسلیم فولاد تیرها برابر ۲۳۵MPa و فولاد ستون‌ها برابر ۳۵۰MPa فرض شده است. در این مطالعه، از نرم‌افزار OpenSees^۴ (Mazzoni, McKenna, Scott, & Fenves, 2006) به منظور مدل‌سازی سازه‌های مورد مطالعه استفاده می‌شود و سازه‌های به‌صورت قاب‌های دوبعدی متشکل از تیرها و ستون‌های الاستیک با مفاصل پلاستیک متمرکز با مصالح IMK^۵ اصلاح شده در دو انتها و نیز با مدل‌سازی چشمه اتصال مدل می‌شوند. همچنین اثرات مرتبه دوم پی-دلتا در ستون‌های قاب اعمال می‌گردند (Eads, Ribeiro, & Barbosa, 2013; Gupta & Krawinkler, 1999; Lignos & Krawinkler, 2011).



شکل ۲: نمای قاب‌های خمشی ۵، ۸ و ۱۱ طبقه مورد مطالعه

جدول ۱: مشخصات مقاطع قاب‌های خمشی ۵، ۸ و ۱۱ طبقه

Tag	ستون‌ها با مقطع HSS		تیرها با مقطع I				
	D (cm)	t (cm)	Tag	d (cm)	b_f (cm)	t_f (cm)	t_w (cm)
15	32.00	2.00	5	50.00	22.00	2.00	1.10
16	30.00	2.00	6	44.00	20.00	1.50	1.00
17	25.00	2.00	7	40.00	20.00	1.50	1.00
18	22.00	2.00	8	36.00	18.00	1.20	1.00
19	20.00	2.00	9	32.00	16.00	1.20	1.00

⁴ Open System for Earthquake Engineering Simulation

⁵ Ibarra-Medina-Krawinkler

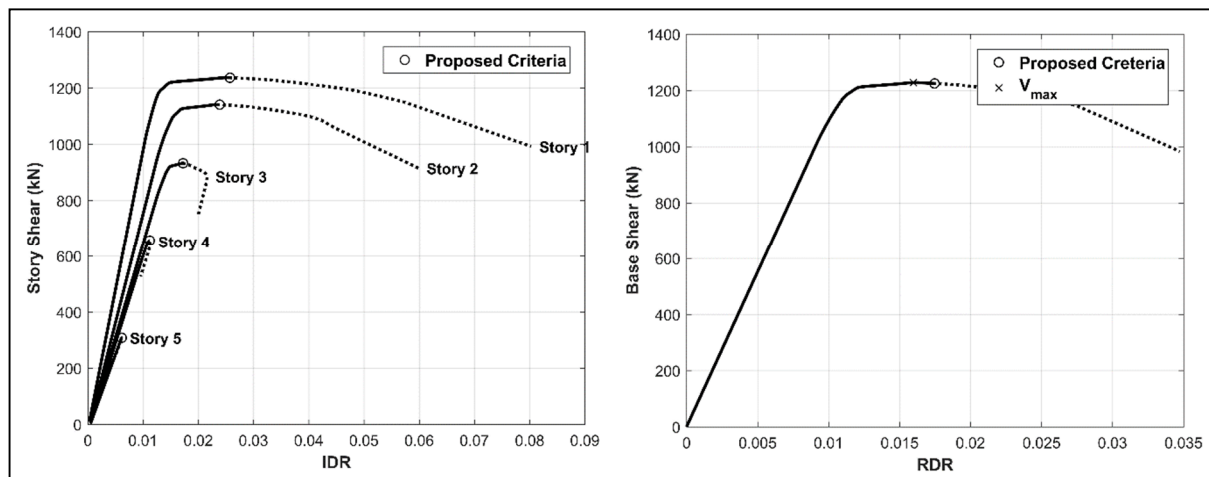


جدول ۲: مشخصات مقاطع المان‌های قاب‌های خمشی ۵، ۸ و ۱۱ طبقه

			St 1	St 2	St 3	St 4	St 5	St 6	St 7	St 8	St 9	St 10	St 11
11 th	Beam	Bays 1, 4	5	5	5	5	5	5	7	7	7	7	9
		Bays 2, 3	5	5	6	6	7	7	7	7	7	7	9
	Column	Axis 1, 5	15	15	15	17	17	17	17	18	18	18	18
		Axis 2, 4	16	16	16	17	17	17	17	18	18	18	18
		Axis 3	16	16	16	17	17	17	17	18	18	18	18
8 th	Beam	Bays 1, 4	5	5	6	6	6	7	7	8			
		Bays 2, 3	7	7	7	7	7	7	7	8			
	Column	Axis 1, 5	17	17	17	18	18	19	19	19			
		Axis 2, 4	17	17	18	18	18	19	19	19			
		Axis 3	17	17	18	18	18	19	19	19			
5 th	Beam	Bays 1, 4	6	6	7	7	8						
		Bays 2, 3	7	7	7	7	8						
	Column	Axis 1, 5	18	18	18	19	19						
		Axis 2, 4	18	18	19	19	19						
		Axis 3	18	18	19	19	19						

معیار فروریزش پیشنهادی

در این تحقیق با ترکیب پارامترهای نسبت دررفت بین طبقه‌ای (IDRst) و برش طبقات (Vst) و استخراج منحنی ظرفیت طبقات، یک معیار جدید برای تعریف سطح آستانه فروریزش در تحلیل‌های پوش‌اور پیشنهاد می‌شود. این معیار تنها به سازه و الگوریتم بارگذاری وابسته است و از نظر مفهومی با شروع فرایند خرابی گسترده در سازه متناسب است. در تحلیل پوش‌اور، منحنی ظرفیت برخی از طبقات در مختصات IDRst-Vst شکل بازگشتی پیدا می‌کند که متناظر با شروع تمرکز خرابی در یک یا چند طبقه از ساختمان است. گام متناظر با اولین بازگشت منحنی ظرفیت طبقات سازه را می‌توان به‌عنوان شروع فرایند خرابی عمده و متناظر با سطح عملکرد CP در نظر گرفت. در شکل روند تعیین معیار فروریزش یک قاب ۵ طبقه تحت بارگذاری مطابق شکل مد اول سازه برای نمونه ارائه شده است. گام متناظر CP در هر طبقه با علامت '0' مشخص شده است که معادل گامی است که منحنی ظرفیت اولین طبقه شکل بازگشتی پیدا می‌کند.



شکل ۳: استخراج گام متناظر با آستانه فروریزش سازه‌ای بر اساس منحنی ظرفیت طبقه

روش پوش‌اور پیشنهادی

در روش پوش‌اور پیشنهادی، بارگذاری به‌صورت ثابت و طبق شکل مد اول تا سوم سازه صورت می‌گیرد. پاسخ نهایی سازه نیز از جمع پاسخ‌های مودال سازه بر اساس معادله (۱) حاصل می‌گردد:

$$IDR_{OMPA} = \sum_{i=1}^m \alpha_i IDR_i \quad (1)$$

در این معادله m تعداد مدهای در نظر گرفته شده، α_i ضریب ترکیب مودی مود i ام و IDR_i و IDR_{OMPA} به ترتیب پروفیل دررفت طبقات در آستانه فروریزش حاصل از تحلیل‌های پوش‌اور مودی مود i ام و روش پیشنهادی است که پوش‌اور مدال بهینه شده (OMPA) نام‌گذاری می‌شود.

ضرایب α_i با استفاده از الگوریتم‌های بهینه‌سازی ازدحام ذرات (PSO) (Eberhart & Kennedy, 2002) و بهینه‌سازی برخورد اجسام (BCO) (Karaboga & Basturk, 2007) و بر اساس پاسخ‌های سه قاب خمشی منظم ۵، ۸ و ۱۱ طبقه در آستانه فروریزش تعیین و پیشنهاد شده‌اند. به منظور استخراج این ضرایب، ابتدا سازه‌ها با روش IDA و با استفاده از ۲۲ جفت رکورد دور از گسل FEMA P695 تحلیل شده‌اند. سپس، میانه دررفت کلیه طبقات آنها در آستانه فروریزش به دست آمده و پروفیل دررفت طبقات حاصل از تحلیل IDA برای هر مدل تعیین گردیده است. در گام بعد، تحلیل‌های پوش‌اور مودی با الگوی توزیع بار مطابق شکل مد اول تا سوم سازه انجام شده و پروفیل دررفت طبقات برای هر مود در آستانه فروریزش حاصل شده است. سپس طبق رابطه (۳)، کمینه شدن نرم بردار اختلاف دررفت طبقات حاصل از تحلیل IDA و دررفت حاصل از ترکیب نتایج پوش‌اور مودال به‌عنوان تابع هدف تعریف شده و ضرایب ترکیب مودی بهینه شده (α_i) با استفاده از الگوریتم‌های بهینه‌سازی تعیین گردیده‌اند که در جدول ۳ نشان داده شده‌اند:

$$e_j = IDR_{j-IDA} - IDR_{j-OMPA} \quad (2)$$

$$\|e\| = \sqrt{\sum_{j=1}^n e_j^2} \quad (3)$$

در این معادلات n تعداد طبقات سازه، Z اندیس طبقه، IDR_{j-IDA} دررفت طبقه j ام حاصل از تحلیل IDA، دررفت طبقه j ام حاصل از تحلیل پوش‌اور پیشنهادی، e_j بردار خطای هر طبقه و $\|e\|$ تابع هدف می‌باشد.

جدول ۳: ضرایب ترکیب مودی حاصل از بهینه‌سازی برای قاب‌های خمشی ۵، ۸ و ۱۱ طبقه مورد مطالعه

	Story	3 Mode			2 Modes	
		Coeff 1	Coeff 2	Coeff 3	Coeff 1	Coeff 2
Bare	5	1.56	0.13	0.07	1.57	0.15
	8	1.21	0.44	0.19	1.26	0.57
	11	0.82	0.64	0.29	0.87	0.79

بررسی ضرایب به دست آمده طبق شکل ۴ نشان می‌دهد که میان افزایش تعداد طبقات و ضرایب ترکیب مودی مدهای اول تا سوم روابطی خطی طبق رابطه (۴) قابل برآزش است. بدین صورت که با افزایش تعداد طبقات، ضریب مشارکت مد اول کاهش و ضرایب مد دوم و سوم افزایش پیدا می‌کنند. در جدول ۴ ضرایب مربوط به رابطه (۴) برای دو حالت در نظر گرفتن دو مود و سه مود ارائه شده است.

$$\alpha = aN + b \quad (4)$$

جدول ۴: مقادیر ضرایب a و b به منظور تعیین ضرایب ترکیب مودی مدهای اول تا سوم در روش پیشنهادی OMPA

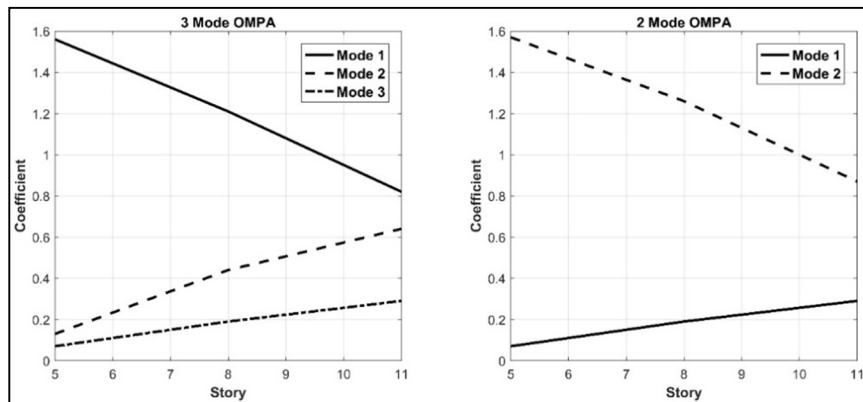
	3 Mode Coefficient			2 Mode Coefficient	
	Mode 1	Mode 2	Mode 3	Mode 1	Mode 2
a	-0.123	0.085	0.037	-0.117	0.107
b	2.183	-0.277	-0.110	2.167	-0.350

⁶ Omtimized Modal Pushover Analysis

⁷ Particle Swarm Optimization

⁸ Artificial Bee Colony





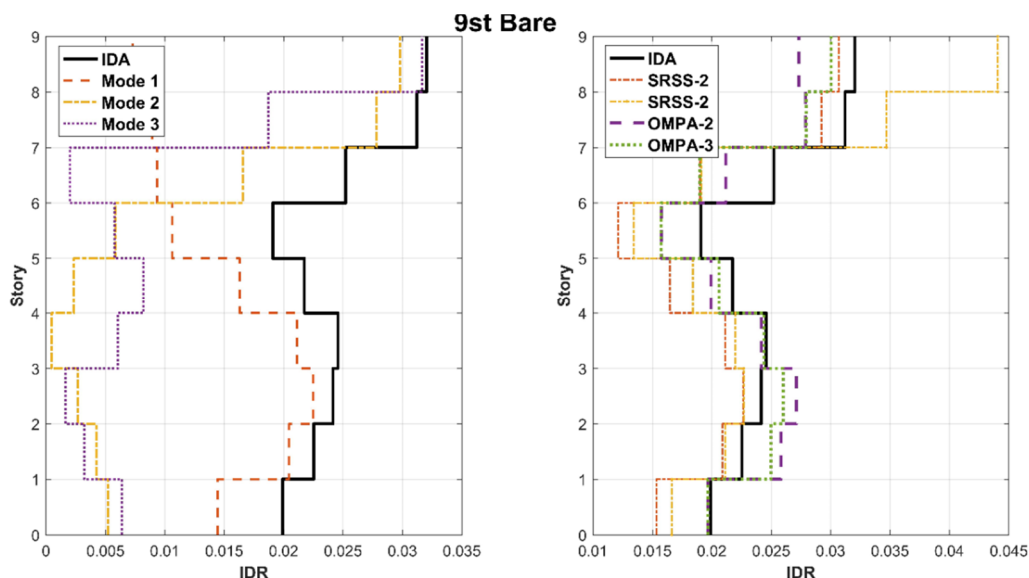
شکل ۴: منحنی روند تغییر ضرایب مدهای اول تا سوم در روش OMPA نسبت به تعداد طبقات

مطالعه موردی

به منظور ارزیابی دقت روش پوش‌آور پیشنهادی OMPA، کاربرد این روش بر روی قاب خمشی ۹ طبقه SAC مدل Pre-Northridge M-2 که یک مدل مرجع در قاب‌های خمشی فولادی است، استفاده می‌شود. جزئیات تفصیلی اجزا و المان‌های این مدل در دستورالعمل FEMA 355c ارائه گردیده است (FEMA, 2000). با استفاده از روش OMPA، ضرایب ترکیب مودی این سازه برای دو حالت در نظر گرفتن دو مود و سه مود در جدول ۵ ارائه شده است. پروفیل دررفت طبقات و پروفیل جابجایی مطلق طبقات این سازه حاصل از روش‌های پوش‌آور در مقایسه با تحلیل IDA در شکل ۵ و شکل ۶ مقادیر خطای این روش‌ها نیز در جدول ۶ ارائه گردیده است.

جدول ۵: ضرایب ترکیب مودی حاصل از روش پیشنهادی OMPA برای قاب ۹ طبقه SAC

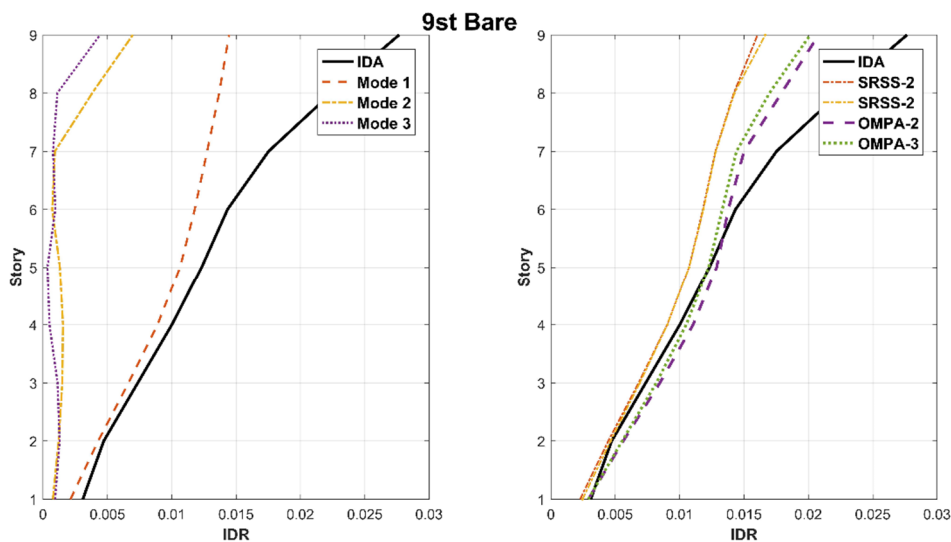
	Coeff 1	Coeff 2	Coeff 3
9 Story	1.12	0.61	
SAC	1.07	0.49	0.22



شکل ۵: پروفیل دررفت طبقات قاب خمشی ۹ طبقه حاصل از روش‌های پوش‌آور در مقایسه با روش IDA

جدول ۶: مقادیر خطای روش‌های پوش‌آور در برآورد پاسخ‌های مدل ۹ طبقه SAC در آستانه فروریزش در مقایسه با تحلیل IDA

	Mode 1	SRSS-2	SRSS-3	OMPA-2	OMPA-3
Drift	15.2%	6.5%	6.7%	4.1%	4.0%
Displacement	8.8%	8.0%	7.6%	5.0%	5.2%



شکل ۶: پروفیل جابجایی طبقات قاب خمشی ۹ طبقه SAC حاصل از روش‌های پوش‌اور در مقایسه با روش IDA

همان‌گونه که مشاهده می‌شود، روش پوش‌اور پیشنهادی OMPA دقت بسیار مناسبی در تخمین هر دو پروفیل دررفت و جابجایی طبقات ارائه می‌کند به‌گونه‌ای که نسبت به نتایج تحلیل پوش‌اور مد اول و روش ترکیب SRSS دقت بسیار بهتری دارند. همچنین نتایج نشان می‌دهد که برای این سازه نیز در نظر گرفتن دو مد اول برای استخراج نتایج کفایت می‌کند و از دقت کافی برخوردار می‌باشد. این نتایج مجموعاً نشان می‌دهد که روش پیشنهادی OMPA می‌تواند با دقت مناسب و سرعت بسیار بالاتر از تحلیل IDA شاخص‌های خرابی جابجایی پایه سازه در آستانه فروریزش شامل پروفیل دررفت طبقات و پروفیل جابجایی طبقات قاب‌های خمشی فولادی را تخمین بزند.

جمع‌بندی

برآورد شاخص‌های خرابی محلی و کلی در آستانه فروریزش سازه یکی از اهدافی است که در فرایند ارزیابی فروریزش لرزه‌ای به آن پرداخته می‌شود. در این پژوهش یک روش پوش‌اور مدال با عنوان پوش‌اور مودال بهینه شده (OMPA) به منظور برآورد شاخص‌های خرابی سازه شامل پروفیل دررفت و جابجایی طبقات در آستانه فروریزش ارائه گردید که از یک معیار جدید برای سطح آستانه فروریزش (CP) و یک روش ترکیب نتایج مدال نوین استفاده می‌نماید. معیار فروریزش پیشنهادی با استفاده از ترکیب دو شاخص خرابی در مقیاس طبقه شامل دررفت طبقه و برش طبقه پیشنهاد شده است. بدین صورت که گام متناظر با وقوع اولین روند بازگشتی در منحنی ظرفیت طبقات ساختمان (در مختصات IDRst-Vst) به عنوان فروریزش سازه‌ای یا آستانه فروریزش (CP) فرض می‌گردد. این معیار به سازه و الگوی بارگذاری وابسته بوده و به یک تغییر فیزیکی مشخص در سازه مرتبط می‌شود.

در روش OMPA پاسخ‌های حاصل از مدهای اول و دوم سازه و یا مدهای اول تا سوم سازه با ضرایبی پیشنهادی ترکیب می‌شوند. این ضرایب با استفاده از دو روش بهینه‌سازی ازدحام ذرات (PSO) و بهینه‌سازی برخورد اجسام (BCO) و بر اساس پروفیل دررفت طبقات نتایج سه قاب خمشی ۵، ۸ و ۱۱ طبقه به دست آمده‌اند. این ضرایب یک روند خطی را نسبت به تعداد طبقات نشان می‌دهند به‌گونه‌ای که ضریب مد اول با افزایش تعداد طبقات کاهش یافته و ضریب مد دوم و سوم افزایش می‌یابد. این مشاهده با افزایش مشارکت مدال مدهای بالاتر با افزایش تعداد طبقات مطابق است. بر این اساس، برازش‌هایی خطی برای ضرایب پیشنهادی بر اساس تعداد طبقات صورت گرفت و در قالب روابطی خطی برای قاب‌های خمشی ارائه شد. با استفاده از این روابط می‌توان پروفیل دررفت و جابجایی مطلق طبقات قاب‌های خمشی فولادی منظم را در آستانه فروریزش سازه‌ای تخمین زد.

مراجع

- Amini, M.A., & Poursha, M. (2018). Adaptive force-based multimode pushover analysis for seismic evaluation of midrise buildings. *Journal of Structural Engineering*, 144(8), 04018093.
- Antoniou, S., & Pinho, R. (2004). Advantages and limitations of adaptive and non-adaptive force-based pushover procedures. *Journal of Earthquake Engineering*, 8(4), 497–522.
- ASCE 41 (2017). *Seismic rehabilitation and retrofit of existing buildings*. Reston, Virginia: American Society of Civil Engineers. Retrieved from www.asce.org/pubs



- BHRC (2014). *Iranian code of practice for a seismic resistant design of buildings, Standard no.2800* (4th ed.). Tehran, Iran: Permanent Committee for Revising the Iranian Code of Practice for Seismic Resistant Design of Buildings.
- Chopra, A.K., & Goel, R.K. (2001). A modal pushover analysis procedure to estimate seismic demands for buildings : theory and preliminary evaluation. *Earthquake, PEER Repor*, 561–582.
- Eads, L., Ribeiro, F., & Barbosa, A. (2013). Dynamic analysis of 2-Story moment frame. Retrieved March 4, 2019, from http://opensees.berkeley.edu/wiki/index.php/Dynamic_Analysis_of_2-Story_Moment_Frame.
- Eberhart, R. & Kennedy, J. (2002). A new optimizer using particle swarm theory. In *MHS'95. Proceedings of the Sixth International Symposium on Micro Machine and Human Science* (pp. 39–43). IEEE.
- FEMA (2000). *State of the art report on systems performance of steel moment frames subject to earthquake ground shaking, FEMA 355c*. Washington, D.C: SAC Joint Venture.
- FEMA (2009). *Quantification of building seismic performance factors, FEMA P695*. Washington, D.C: Federal Emergency Management Agency.
- Gupta, A. & Krawinkler, H. (1999). *Seismic demands for the performance evaluation of steel moment resisting frame structures*. Technical Report 132, Stanford University, Blume Earthquake Engineering Research Center, Department of Civil Engineering.
- Karaboga, D., & Basturk, B. (2007). A powerful and efficient algorithm for numerical function optimization: artificial bee colony algorithm. *Journal of Global Optimization*, 39(3), 459–471.
- Lignos, D.G., & Krawinkler, H. (2011). Deterioration modeling of steel components in support of collapse prediction of steel moment frames under earthquake loading. *Journal of Structural Engineering*, 137(11), 1291–1302.
- Mazzoni, S., McKenna, F., Scott, M., & Fenves, G. (2006). The open system for earthquake engineering simulation (OpenSees).

